



ISSN 0250-3301 CODEN HCKHDV HUANJING KEXUE

- 主办 中国科学院生态环境研究中心
- ■出版科学出版社



2019 Vol.40 No.1 第40卷 第1期

第1期 第 40 卷 2019年1月15日

次

```
草海典型高原湿地食物链中汞同位素组成特征 许议元,何天容(461) Cd、Zn 交互作用对三七景天根系形态和重金属吸收积累的影响 "粮食,杨俊兴,杨军,陈同斌,李厚思,徐铁兵,周小勇,叶勇,于豹(470) 不同浓度镧处理对铅胁迫下玉米生长和铅吸收的影响 王起凡,郭伟,常青,潘亮,周昕南,杨亮,李娥(480) 广西龙江鱼类镉含量分布特征及生物积累特性分析 "王俊能,赵学敏,胡国成,钟松雄,姚玲爱,马千里,许振成(488) 6种消解方法对荧光测定生物体内聚苯乙烯微塑料的影响 "邹亚丹,徐攀攀,张哿,李富云,李锋民(496) 一种负载功能型微生物的营养缓释填料的制备及性能评价 "冯克,徐升华,成卓韦,於建明,陈建孟(504) 《环境科学》征订启事(113) 《环境科学》征稿简则(238) 信息(93,262,342)
```



后置短程反硝化 AOA-SBR 工艺实现低 C/N 城市污水的脱氮除磷

巩秀珍,于德爽,袁梦飞,王晓霞*,陈光辉,王钧,毕春雪,都叶奇(青岛大学环境科学与工程学院,青岛 266071)

摘要: 为了解 厌氧/好氧/缺氧 (A/O/A) 运行的序批式反应器 (SBR) 中,强 化生物除磷 (EBPR) 与同步短程硝化反硝化 (SPND) 耦合,并后置短程反硝化的脱氮除磷特性,以低 C/N (\leq 4) 城市污水为处理对象,通过优化曝气量和缺氧时间,实现了低 C/N 城市污水的深度脱氮除磷. 结果表明,当好氧段曝气量由 1.0 L·min $^{-1}$ 降至 0.6 L·min $^{-1}$,缺氧时间为 180 min 时,出水PO $_4^3$ -P浓度由 0.06 mg·L $^{-1}$ 降至 0,出水NH $_4^4$ -N、NO $_2^-$ -N和NO $_3^-$ -N浓度分别由 0.18、18.79 和 0.08 mg·L $^{-1}$ 逐渐降低至 0、16.46 和 0.05 mg·L $^{-1}$,TN 去除率由 72.69% 提高至 77.97%;随着曝气量的降低,SPND 现象愈加明显,SND 率由 19.18% 提高至 31.20%;此后,当缺氧段时间由 180 min 逐渐延长至 420 min,出水PO $_4^3$ -P、NH $_4^4$ -N和NO $_3^-$ -N浓度分别维持在 0、0 和 0.03 mg·L $^{-1}$ 左右,出水NO $_2^-$ -N低至 3.06 mg·L $^{-1}$,SND 率达 32.21%,TN 去除性能逐渐提高,TN 去除率高达 99.42%,实现了系统的深度脱氮除磷.

关键词:同步短程硝化反硝化(SPND);内源短程反硝化;强化生物除磷(EBPR);聚磷菌(PAOs);城市污水中图分类号: X703 文献标识码: A 文章编号: 0250-3301(2019)01-0360-09 **DOI**: 10.13227/j. hjkx. 201807056

Denitrification and Phosphorus Removal from Low C/N Urban Sewage Based on a Post-Partial Denitrification AOA-SBR Process

GONG Xiu-zhen, YU De-shuang, YUAN Meng-fei, WANG Xiao-xia*, CHEN Guang-hui, WANG Jun, BI Chun-xue, DU Ye-qi

(School of Environmental Science and Engineering, Qingdao University, Qingdao 266071, China)

Abstract: This study focuses on the investigation of the nitrogen (N) and phosphorus (P) removal characteristics of a combination of enhanced phosphorus removal (EBPR) with simultaneous partial nitrification endogenous denitrification (SPND) and post-partial denitrification process. An anaerobic/aerobic/anoxic (A/O/A) operated sequencing batch reactor (SBR) fed with urban sewage was optimized by regulating the aeration rate and anoxic time. Based on this optimization, deep-level nitrogen and phosphorus removals from low C/N urban sewage could be realized. The experimental results show that the effluent PO_4^{3-} -P concentration decreased from 0.06 mg·L⁻¹ to 0 mg·L⁻¹, the effluent NH_4^+ -N, NO_2^- -N, and NO_3^- -N concentrations gradually decreased from 0.18, 18.79, and 0.08 mg·L⁻¹ to 0, 16.46, and 0.05 mg·L⁻¹, respectively, and the TN removal efficiency increased from 72.69% to 77.97% when the aeration rate decreased from 1.0 L·min⁻¹ to 0.6 L·min⁻¹ and the anoxic duration was 180 min. With the reduction of the aeration rate, the SPND phenomenon became notable and the SND rate increased from 19.18% to 31.20%. When the anoxic duration was extended from 180 min to 420 min, the effluent PO_4^{3-} -P, NH_4^+ -N, and NO_3^- -N concentrations stabilized at ~0,0, and 0.03 mg·L⁻¹, respectively. The effluent NO_2^- -N concentration was as low as 3.06 mg·L⁻¹, the SND rate was ~32.21%, the TN removal performance gradually improved, and the TN removal efficiency was as high as 99.42%. Thus, deep-level nitrogen and phosphorus removals could be realized with the SPNDPR-PD system.

Key words: simultaneous partial nitrification-endogenous denitrification (SPND); endogenous partial denitrification; enhanced biological phosphorus removal (EBPR); phosphorous accumulating organisms (PAOs); urban sewage

水体"富营养化"是全球十大环境问题之一,水体中氮、磷过度排放导致生态环境遭到破坏、饮用水受到威胁,脱氮除磷已成为当今世界亟待解决的重要环境问题^[1],脱氮除磷技术一直是研究热点.在传统生物脱氮除磷工艺^[2-5]中,存在污泥龄控制上的矛盾^[6-8]和碳源需求上的竞争^[9,10],以及硝化反应产物对厌氧释磷抑制等问题^[11,12],使得污水最终的脱氮除磷效果受到影响,尤其体现在低 C/N城市污水的脱氮除磷过程中^[13].

强化生物除磷(EBPR)是指在适当的培养条件

下,通过在污水处理系统中富集聚磷菌(PAOs),并利用 PAOs 能够在厌氧/好氧交替的条件下吸磷的特性,达到降低污水中磷浓度的目的,并最终通过排放富磷剩余污泥的方式实现磷的去除^[14~17].与化学除磷相比,生物除磷不产生药剂费用和化学污

收稿日期: 2018-07-07; 修订日期: 2018-07-16

基金项目: 国家自然科学基金项目(51778304,51708311); 山东省自然科学基金项目(ZR2017BEE002); 中国博士后科学基金项目(2017M612209)

作者简介: 巩秀珍(1995~), 女, 硕士研究生, 主要研究方向为水 污染控制, E-mail: G_gongxiuzhen@ 163. com

* 通信作者,E-mail:elainewangxx@163.com

泥,且生物除磷污泥可用作肥料,在运行费用方面 具有非常明显的优势^[18].同步短程硝化反硝化脱 氮(SPND)技术是在同一反应器的同一处理空间, 通过调控运行条件将硝化过程控制在亚硝化阶段, 然后进行反硝化过程,从而实现污水的脱氮^[19].与 传统生物脱氮技术相比,同步短程硝化反硝化脱氮 技术可以节省部分碳源(约 40%),节省部分曝气 量(约 25%)^[20].

序批式活性污泥法(SBR)集进水、调节、反应、沉淀于一池,具有占地面积小,节省回流、基建等费用,耐冲击负荷,反应推力大,运行灵活、便于实现高度自动化,能有效抑制污泥膨胀等优点[21]. 在一个 SBR 反应器中,将 EBPR 与 SPND 耦合,用于污水的脱氮除磷. 一方面,EBPR 系统内PAOs 富集程度较高,可实现污水的高效、稳定除磷;另一方面,好氧段 SPND 的产生可降低出水中 NO_x^- -N(主要是 NO_x^- -N)的含量,在提高脱氮效率的同时,可减少 NO_x^- -N对下一反应周期释磷过程的影响[22]

目前,有关同步短程硝化反硝化脱氮除磷(SPNDPR)的工艺鲜见报道^[23]. 于德爽等^[24]采用SBR 反应器,通过联合调控曝气量和好氧时间成功

实现了 SPNDPR 系统的启动与优化运行,但出水 TN 浓度仍然较高(约11.92 mg·L⁻¹). 基于上述研究,为进一步降低出水中 TN 含量,提出了一种适合低 C/N 污水深度脱氮除磷的新工艺即厌氧/好氧/缺氧运行的同步短程硝化反硝化除磷-后置短程反硝化(SPNDPR-PD)工艺.

本文以低 C/N(≤4)城市污水为处理对象,采用厌氧/好氧/缺氧运行的 SBR 反应器,通过合理调控厌氧/好氧/缺氧运行时间和好氧段曝气量,分析了 SPNDPR-PD 系统的启动与优化运行特性,并探讨了该系统优化运行后的 COD、氮、磷去除特性和运行过程中系统脱氮除磷机理,以期为 SPNDPR-PD 系统实现低 C/N 城市污水的深度脱氮除磷提供技术支持.

1 材料与方法

1.1 实验装置与运行工序

实验用反应器为 SBR, 采用有机玻璃制成, 为敞口式反应器, 容积为13 L, 有效容积为8 L, 实际进水为3 L. 采用机械搅拌的方式使泥水混匀, 以曝气砂头作为微孔曝气器, 并以转子流量计调节曝气量. 具体运行参数见表1.

表 1 SPNDPR-PD 系统优化运行期间运行参数

Table 1	Parameters	for the optimal	operation of the	SPNDPR-PD system
---------	------------	-----------------	------------------	------------------

57 110	PA EIL 1	阶段 2	PA FT 2	阶段 4 (56~111 d)			
项目	阶段 1 (1~21 d)	例 权 2 (22~39 d)	阶段 3 (40~55 d)	阶段 4-1 (56~72 d)	阶段 4-2 (73~85 d)	阶段 4-3 (86~99 d)	阶段 4-4 (100~111 d)
总体积/L	8	8	8	8	8	8	8
排水比	3:8	3:8	3:8	3:8	3:8	3:8	3:8
运行模式	厌氧/好氧	厌氧/好氧/缺氧	厌氧/好氧/缺氧	厌氧/好氧/缺氧	厌氧/好氧/缺氧	厌氧/好氧/缺氧	厌氧/好氧/缺氧
厌氧时间/min	180	180	180	180	180	180	180
好氧时间/min	180	180	180	180	180	180	180
缺氧时间/min	_	180	180	240	300	360	420
SRT/d	10	10	10	10	10	10	10
HRT/h	16	24	24	26. 67	29. 33	32	34. 67
曝气量/L·min -1	1.0	1. 0	0.6	0.6	0.6	0.6	0.6
DO 浓度/mg·L-1	≤0.8	≤0.8	≤0.5	≤0.5	≤0.5	≤0.5	≤0.5

1.2 实验用水和接种污泥

实验用水为青岛市某污水处理厂粗格栅前人口处的生活污水,具体水质: COD 浓度为 253. 79~372. 48 $\text{mg}\cdot\text{L}^{-1}$, NH_4^+ -N 浓度为 52. 15~82. 07 $\text{mg}\cdot\text{L}^{-1}$, NO_2^- -N浓度 < 1 $\text{mg}\cdot\text{L}^{-1}$, NO_3^- -N浓度 < 2 $\text{mg}\cdot\text{L}^{-1}$, $\text{PO}_4^{3^-}$ -P浓度为 3. 55~9. 62 $\text{mg}\cdot\text{L}^{-1}$,pH 值为 7. 2~7. 6. 接种污泥取自本实验室运行 180 d 具有良好脱氮除磷性能的 SBR,接种到反应器内后MLSS 约 3 961 $\text{mg}\cdot\text{L}^{-1}$,SV 约为 32%,SVI 约为 80. 79 $\text{mL}\cdot\text{g}^{-1}$.

1.3 检测方法

1.3.1 常规检测方法

水样经中性滤纸(最大孔径 15~20 μ m) 过滤后测定以下各参数: NH_4^+ -N采用纳氏试剂分光光度法测定, NO_2^- -N采用 N-(1-萘基) 乙二胺分光光度法测定, PO_4^{3-} -P 采用钼酸铵分光光度法测定;COD 采用联华 5B-3A 型 COD 快速测定仪测定,MLSS 采用重量法测定,温度与 DO 值采用雷磁便携式溶解氧测定仪测定,PH 采用雷磁 PHS-3C PH 计测定.

1.3.2 COD_{ins}计算方法

COD_{ins}是指在 SPNDPR-PD 系统的厌氧段,原水中的 COD 被 PAOs 和聚糖菌(GAOs)储存为内碳源的量(mg·L⁻¹). 其计算方法如下:

 $COD_{ins} = \Delta COD - (1.71\Delta NO_2^- + 2.86\Delta NO_3^-)$ 式中, ΔCOD 、 ΔNO_2^- 和 ΔNO_3^- 分别为系统厌氧段 COD、 NO_2^- -N 和 NO_3^- -N 浓度的变化量, $mg \cdot L^{-1}$; 1.71 和 2.86 分别为单位质量浓度的 NO_2^- -N 和 NO_3^- -N被异养反硝化菌利用时所消耗 COD 的浓度 (质量比).

1.3.3 SND 率计算方法

SND 率用以表示在 SPNDPR-PD 系统好氧段的 氮损失情况,其计算方法如下:

$$SND = \left[1 - \frac{\Delta NO_2^- + \Delta NO_3^-}{\Delta NH_4^+}\right] \times 100\%$$

式中, ΔNH_4^+ 、 ΔNO_2^- 和 ΔNO_3^- 分别为系统好氧段 NH_4^+ -N、 NO_2^- -N和 NO_3^- -N浓度的变化量, $mg \cdot L^{-1}$.

2 结果与讨论

2.1 SPNDPR-PD 系统的PO₄ -P去除特性

SPNDPR-PD 系统运行期间进、出水 PO_4^{3-} -P浓度及 PO_4^{3-} -P去除率变化情况见图 1.

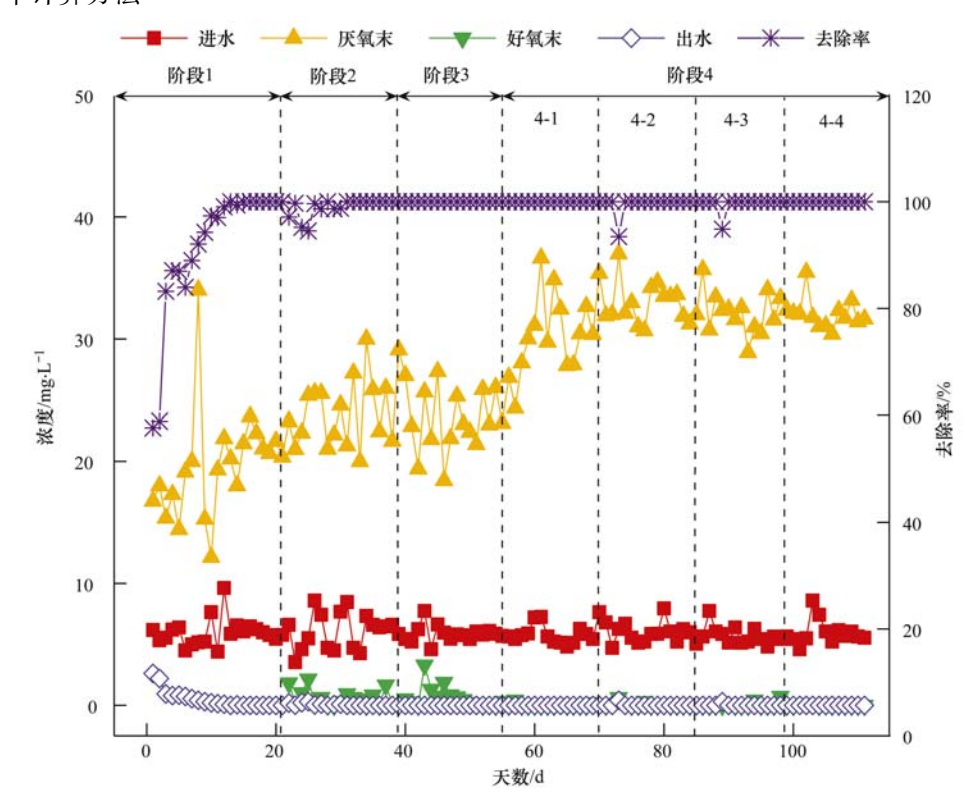


图 1 SPNDPR-PD 系统运行过程中PO₄ -P浓度变化情况

Fig. 1 Variations of the PO₄³⁻-P concentration during the operation period of the SPNDPR-PD system

由图 1 可知,在阶段 1(1~21~d),系统进水 PO_4^{3-} -P浓度平均为 $5.97~mg\cdot L^{-1}$,厌氧末 PO_4^{3-} -P浓度 度由 $16.74~mg\cdot L^{-1}$ 逐渐升高至 $20.38~mg\cdot L^{-1}$,出水 PO_4^{3-} -P浓度由 $2.61~mg\cdot L^{-1}$ 逐渐降低至 0. 厌氧释磷量 (PRA)逐渐提高,由 $14.43~mg\cdot L^{-1}$ 提高至 $18.57~mg\cdot L^{-1}$,好氧吸磷量 (PUA)约为 $19.79~mg\cdot L^{-1}$ 。说明系统释磷和吸磷性能逐渐提高. PO_4^{3-} -P去除率由 57.70%~升高至第 12~d~时的 99.06%,并在第 13~21~d~稳定维持在 100%。说明,经过一段时间的运行(约 10~d),可以实现 SPNDPR-PD 系统除磷性能的提高.

在阶段 $2(22 \sim 39 \text{ d})$, 当系统由厌氧/好氧改为 厌氧/好氧/缺氧方式运行后, 好氧末 PO_4^{3-} -P浓度平

均为 $0.60 \text{ mg} \cdot \text{L}^{-1}$,出水 $\text{PO}_4^{3^-}$ -P浓度较低 (约为 $0.06 \text{ mg} \cdot \text{L}^{-1}$),SPNDPR-PD 系统除磷性能较好. 在该阶段,厌氧末 $\text{PO}_4^{3^-}$ -P浓度由 $19.99 \text{ mg} \cdot \text{L}^{-1}$ 逐渐提高至 $29.11 \text{ mg} \cdot \text{L}^{-1}$; PRA 和 PUA 分别由 $20.79 \text{ mg} \cdot \text{L}^{-1}$ 和 $26.92 \text{ mg} \cdot \text{L}^{-1}$ 逐渐升高至 $21.44 \text{ mg} \cdot \text{L}^{-1}$ 和 $29.11 \text{ mg} \cdot \text{L}^{-1}$. $\text{PO}_4^{3^-}$ -P去除率高达 99.02%. 因此,改变运行方式后,有助于 $\text{PO}_4^{3^-}$ -P的去除.

在阶段 $3(40 \sim 55 \text{ d})$,当系统好氧段的曝气量由 1.0 L·min^{-1} 降低至 0.6 L·min^{-1} 后,系统出水 PO_4^{3-} -P浓度继续维持在 0, PO_4^{3-} -P去除率稳定维持在 100%. PRA 和 PUA 均维持在较高水平,分别约为 21.21 mg·L^{-1} 和 22.75 mg·L^{-1} ,系统的释磷和吸磷性能较好.需要注意的是,好氧末 PO_4^{3-} -P浓度平

均为 0. 67 mg·L⁻¹, 较阶段 2 的 0. 60 mg·L⁻¹有所提高. 分析其原因可能在于, 曝气量的降低使得 PAOs 可利用的溶解氧(DO)减少, 使得好氧吸磷过程受到抑制.

在阶段 $4(56 \sim 111 \text{ d})$,当系统缺氧时间分别 延长至 $240 \times 300 \times 360$ 和 420 min 时,系统的除磷性能继续维持稳定. 该阶段,系统进水、好氧末、出水 PO_4^{3-} -P浓度 和去除率分别平均为 $5.88 \times 0.07 \times 0.01 \text{ mg} \cdot \text{L}^{-1}$ 和 99.78%. 在阶段 $4-1(56 \sim 72 \text{ d})$,厌氧末 PO_4^{3-} -P浓度呈明显的上升趋势,由

24. $34 \text{ mg} \cdot \text{L}^{-1}$ 升高至 32. $03 \text{ mg} \cdot \text{L}^{-1}$. 分析其原因可能在于该阶段 COD_{ins} 明显提高(见图 2). 在阶段 4-2 ~ 4-4(73~111d),厌氧末 $\text{PO}_4^{3^-}$ -P浓度平均为 32. $49 \text{ mg} \cdot \text{L}^{-1}$. 表明缺氧段时间由 180 min 延长至 240 min 时,系统的释磷性能有所提高;而当其由 240 min 延长至 420 min,对系统的除磷性能几乎没有影响.

2.2 SPNDPR-PD 系统的 COD 去除特性

SPNDPR-PD 系统运行期间进、出水 COD 浓度变化情况见图 2.

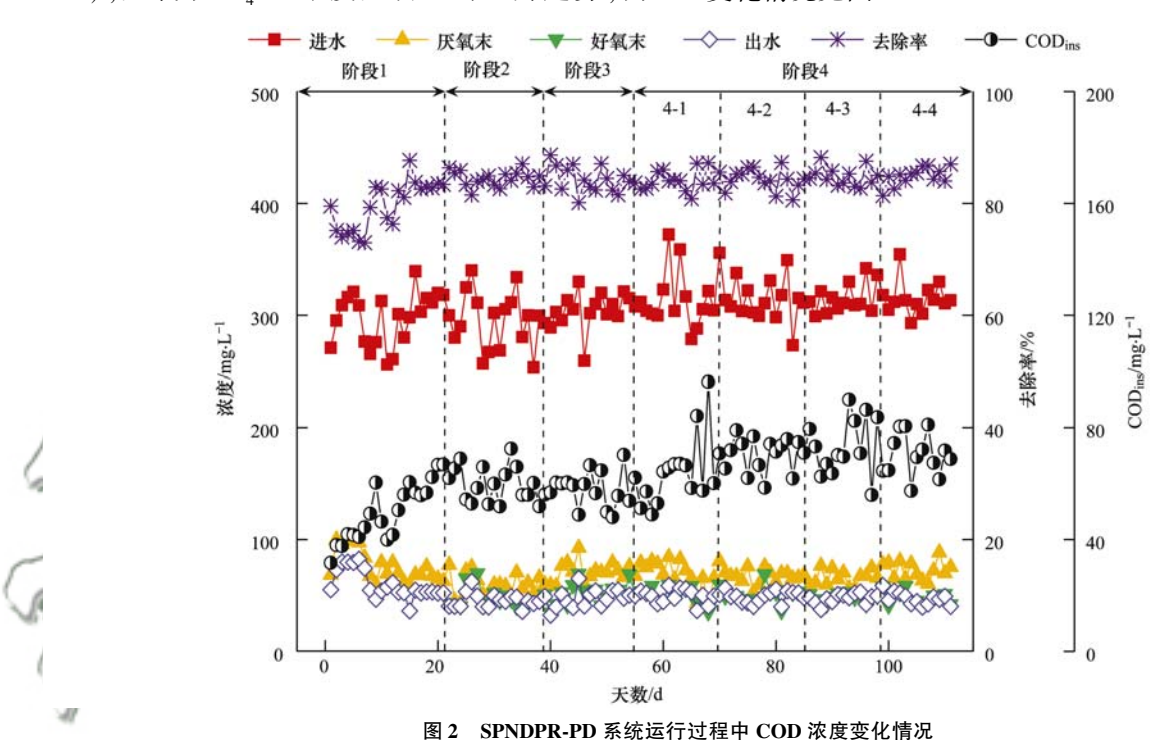


Fig. 2 Variations of the COD concentration during the operation period of the SPNDPR-PD system

在阶段 2(22~39 d), 当系统以厌氧/好氧改为 厌氧/好氧/缺氧方式运行后, 系统进水 COD 的浓 度平均为 295. 79 mg·L⁻¹, COD 去除效果稳定. 厌 氧末、好氧末和出水 COD 的浓度分别约为 59. 80、 48. 40 和 43. 48 $\text{mg} \cdot \text{L}^{-1}$. 出水 COD 的浓度较好氧末 仅减少了 4. 92 $\text{mg} \cdot \text{L}^{-1}$, 说明缺氧段利用的主要是 内碳源. COD 去除率稳定在 85. 21%,COD_{ins}约为 59. 83 $\text{mg} \cdot \text{L}^{-1}$. 说明改变运行方式对 COD 的去除几乎没有影响.

在阶段 $3(40 \sim 55 \text{ d})$,当系统好氧段的曝气量由 1.0 L·min^{-1} 降低至 0.6 L·min^{-1} 后,厌氧末、好氧末和出水 COD 浓度分别平均为 71.58、52.17 和 50.66 mg·L^{-1} . 厌氧段 COD 消耗量、好氧段 COD 消耗量和缺氧段 COD 消耗量分别平均为 0.41、0.11 和 $0.02 \text{ mg·(L·min)}^{-1}$; COD 去除率和 COD_{ins}分别平均为 83.37% 和 58.48 mg·L^{-1} . 系统继续维持较好的 COD 去除效果及内碳源贮存性能. 说明改变曝气量对系统的 COD 去除性能几乎不造成影响.

在阶段 4(56~111 d), 当系统缺氧时间分别延长至 240、300、360 和 420 min 时, 厌氧末、好氧末

和出水 COD 浓度分别平均为 69.08、49.73 和 47.00 mg·L⁻¹. COD 去除率稳定维持在 85.06%. 说明延长缺氧运行时间, 对系统 COD 的去除性能几乎不造成影响. 在阶段 4-1 (56~72 d), COD_{ins}逐渐升高, 由 51.31 mg·L⁻¹逐渐升高至 72.12 mg·L⁻¹; 在阶段 4-2~4-4(73~111 d), COD_{ins}维持稳定, 平均为 71.68 mg·L⁻¹.

以上实验结果表明,降低曝气量(由1.0

L·min ⁻¹降至 0.6 L·min ⁻¹)、增加缺氧段(由厌氧/好氧改为厌氧/好氧/缺氧)、延长缺氧段时间(由 180 min 依次延长至 420 min),均不影响 SPNDPR-PD 系统的 COD 去除性能, COD 去除率稳定维持在 80%以上.

2.3 SPNDPR-PD 系统的硝化特性

SPNDPR-PD 系统运行期间进、出水 NH_4^+ -N浓度及去除率变化情况见图 3.

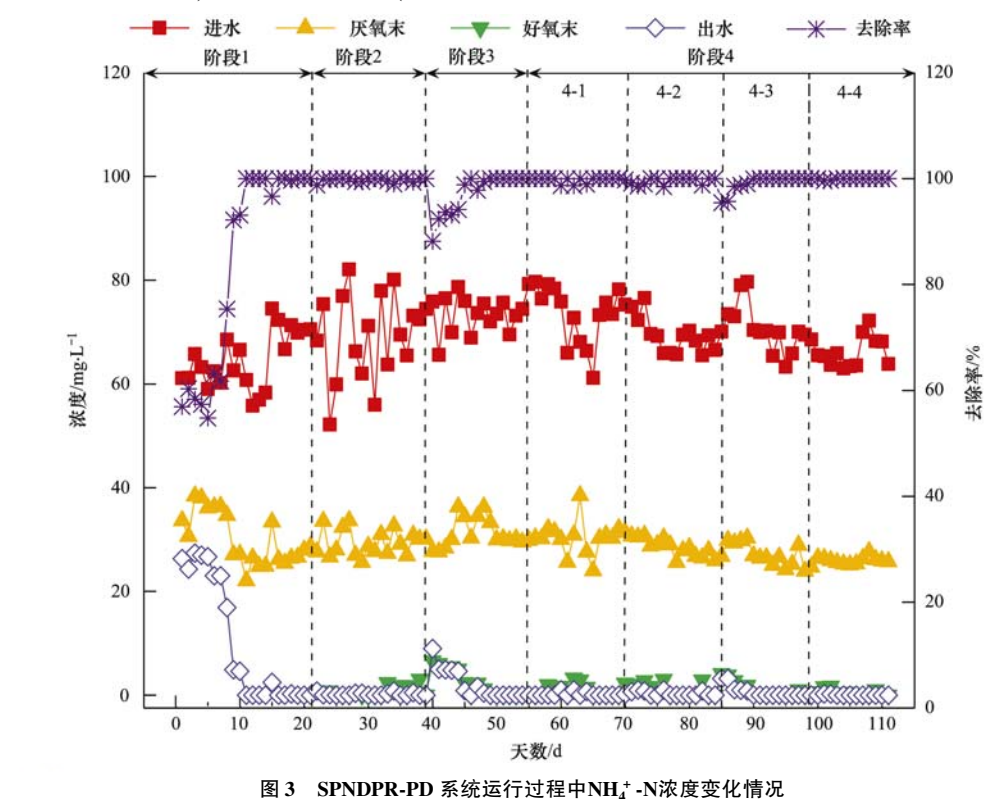


Fig. 3 Variations of the NH₄⁺-N concentration during the operation period of the SPNDPR-PD system

由图 3 可知,在阶段 1(1~21~d),进水 NH_4^+-N 浓度平均为 64.68 $mg \cdot L^{-1}$; 出水 NH_4^+-N 浓度由 26.32 $mg \cdot L^{-1}$ 逐渐降低并稳定维持在 0.27 $mg \cdot L^{-1}$; NH_4^+-N 去除率由 58.96%逐渐升高并稳定维持在 99.67%. 说明系统硝化性能逐渐提高并能稳定在较高水平.

在阶段 2(21~39~d), 当系统由厌氧/好氧改为厌氧/好氧/缺氧方式运行后, 系统的硝化性能得到稳定维持, 进水、厌氧末、好氧末和出水 NH_4^+ -N浓度分别平均为 69.29、29.38、0.74 和 $0.18~mg·L^{-1}$, NH_4^+ -N去除率维持在 98.00% 以上. 说明该阶段系统的硝化性能较好, 且改变运行方式并未对系统的硝化性能造成影响.

在阶段 $3(40 \sim 55 \text{ d})$,当系统好氧段的曝气量由 1.0 L·min^{-1} 降低至 0.6 L·min^{-1} 后,系统出水 NH_4^+ -N浓度突然升高至 8.97 mg·L^{-1} , NH_4^+ -N去除率降低至 88.18%.经过一段时间的运行(9 d),出

水NH₄⁺-N浓度逐渐降低并在第 48 d 降低至 0, 随后稳定维持;同时NH₄⁺-N去除率逐渐升高并稳定维持在 100%.说明曝气量的突降会引起 SPNDPR-PD 系统硝化不完全,但是经过一段时间(7 d 左右)的运行, SPNDPR-PD 系统的硝化性能可以逐渐提高,并稳定保持在较高水平(出水NH₄⁺-N浓度约为 0).有研究表明^[25], AOB 较 NOB 的亲氧性更好,在低溶解氧的状态下, AOB 更容易利用溶解氧来进行代谢, NOB 所需的溶解氧不足,导致 NOB 的活性受到抑制.

在阶段 $4(56 \sim 111 \text{ d})$,当系统缺氧时间分别延长至 $240 \times 300 \times 360$ 和 420 min 时,系统的硝化性能稳定维持,系统进水、厌氧末、好氧末和出水 NH_4^+ -N浓度分别平均为 $70.02 \times 28.04 \times 0.87$ 和 0.30 mg·L⁻¹, NH_4^+ -N去除率稳定维持在 98.58% 左 右.说明延长缺氧运行时间对 SPNDPR-PD 系统的硝化性能未造成影响.

2.4 SPNDPR-PD 系统的脱氮特性

SPNDPR-PD 系统运行期间出水 NO_2^- -N 和 NO_3^- -N浓度、缺氧段 NO_2^- -N去除率、SND 率、TN 去除率及 NO_2^- -N积累率变化情况见图 4.

从中可知,在阶段 1(1~21~d),在第 1~7~d 系统出水 NO_2^- -N浓度约为 $6.50~mg\cdot L^{-1}$,此后逐渐上升,由第 8~d 的 $14.18~mg\cdot L^{-1}$ 上升至第 21~d 的 $24.54~mg\cdot L^{-1}$,出水 NO_3^- -N浓度稳定维持在

0. 25 mg·L⁻¹. NO₂-N积累率由 92. 16%逐渐升高至 100%. 说明 SPNDPR-PD 系统的短程硝化性能维持在较高水平. 此外, SND率在第 1~7 d波动较大,最低为第 2 d的 5. 81%,最高为第 6 d的 48. 32%;在第 8~21 d, SND率维持稳定,平均为 18. 84%. 在该阶段, TN 去除率逐渐升高,由 46. 98%提高至 65. 41%,说明系统脱氮性能逐渐增强.

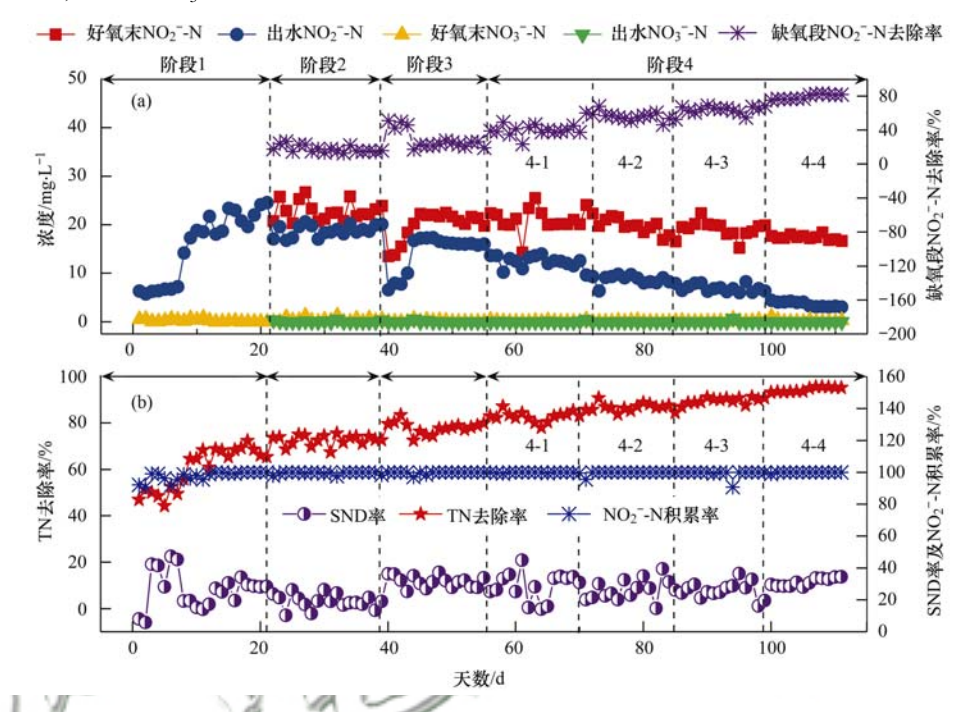


图 4 SPNDPR-PD 系统运行过程中NO_x--N浓度和缺氧段NO₂--N去除率及 SND 率、TN 去除率和NO₂--N积累率的变化情况 Fig. 4 Variations of the NO_x--N concentration and NO₂--N removal rate in the anoxic segment, SND efficiency, TN removal efficiency, and NO₂--N accumulation efficiency during the operation period of the SPNDPR-PD system

在阶段 $2(22 \sim 39 \text{ d})$,当系统由厌氧/好氧改为厌氧/好氧/缺氧方式运行后,好氧末 NO_2^- -N和出水 NO_2^- -N浓度分别约为 22.86 mg·L^{-1} 和 18.79 mg·L^{-1} ,好氧末 NO_3^- -N和出水 NO_3^- -N浓度分别约为 0.38 mg·L^{-1} 和 0.08 mg·L^{-1} . 与阶段 1 相比,该阶段出水 NO_2^- -N和 NO_3^- -N浓度分别降低了 5.75 mg·L^{-1} 和 0.30 mg·L^{-1} . 在该阶段,缺氧段 NO_2^- -N去除率平均为 17.60%,TN去除率约为 72.69%(较阶段 1 提高了 7.28%); NO_2^- -N积累率维持在 99.56%,说明系统的短程硝化性能能够稳定维持. SND率依然维持在 19.18%. 分析原因可能是,DO浓度较高(约 0.80 mg·L^{-1}),影响了反应器内缺氧环境的形成,有文献表明[26,27],缺氧环境是产生 SND 现象的主要原因.

在阶段 $3(40 \sim 55 \text{ d})$, 当系统好氧段的曝气量由 $1.0 \text{ L} \cdot \text{min}^{-1}$ 降低至 $0.6 \text{ L} \cdot \text{min}^{-1}$ 后,好氧末 NO_2^- -N浓度由 $23.86 \text{ mg} \cdot \text{L}^{-1}$ 突降至 $13.48 \text{ mg} \cdot \text{L}^{-1}$,

而后逐渐升高并稳定在 21. 43 $\text{mg} \cdot \text{L}^{-1}$. 出水 $\text{NO}_2^- \cdot \text{N}$ 浓度呈同样的变化趋势,先突降至 6. 60 $\text{mg} \cdot \text{L}^{-1}$,此后逐步上升并稳定在约 16. 46 $\text{mg} \cdot \text{L}^{-1}$. 好氧末 $\text{NO}_3^- \cdot \text{N和出水NO}_3^- \cdot \text{N浓度维持稳定,分别约为 0. 11} \\ \text{mg} \cdot \text{L}^{-1} 和 0.05 \\ \text{mg} \cdot \text{L}^{-1}$;在该阶段,TN 去除率和 $\text{NO}_2^- \cdot \text{N积累率分别稳定维持在 77. 97% 和 99. 71%,SND 率由 19. 15%逐渐升高并稳定在 31. 20%. 说明降低曝气量有利于同步短程硝化反硝化性能的提高.$

在阶段 $4(56 \sim 111\ d)$,当系统缺氧时间分别延长至 $240 \times 300 \times 360$ 和 $420\ min$ 时,好氧末 NO_3^- -N和 出水 NO_3^- -N浓度稳定维持在 $0.11\ mg\cdot L^{-1}$ 和 $0.03\ mg\cdot L^{-1}$. NO_2^- -N积累率稳定维持在 99.68%,说明系统的同步短程硝化性能稳定维持. 好氧末 NO_2^- -N和出水 NO_2^- -N浓度分别由 $22.37\ mg\cdot L^{-1}$ 和 $13.66\ mg\cdot L^{-1}$ 逐渐降低至 $16.67\ mg\cdot L^{-1}$ 和 $3.06\ mg\cdot L^{-1}$;缺氧段 NO_2^- -N去除率和 13.66 不 13.66

稳定维持在 28.01%. 说明, SPNDPR-PD 系统 TN 去除性能的提高在于缺氧段时间的延长.

2.5 SPNDPR-PD 系统实现低 C/N 城市污水高效 脱氮除磷的机制

为进一步分析 SPNDPR-PD 系统实现低 C/N 城市污水高效脱氮除磷的机制,对系统运行第 39 d 和第 106 d 典型周期内基质浓度变化情况进行分析(图 5).

如图 5(a) 所示, SPNDPR-PD 系统初始 COD、 NH_4^+-N 、 NO_2^--N 、 NO_3^--N 和 $PO_4^{3^-}-P$ 浓度分别为 138. 15、28. 23、12. 49、0. 11 和 2. 19 $mg \cdot L^{-1}$. 在厌氧段(0~180 min), COD 浓度逐渐降低,并伴随着磷的释放和 NO_x^--N 的去除. 在 0~20 min, NO_2^--N

和NO $_3^-$ -N浓度迅速降至 0. 在 0 ~ 40 min 内,PO $_4^{3-}$ -P浓度呈线性增长趋势,并伴随着 COD 浓度的迅速减少. 说明 0 ~ 40 min 内主要发生NO $_x^-$ -N的外源反硝化作用及 PAOs 的释磷作用. 此外,考虑到该阶段NO $_x^-$ -N的浓度较低 (12. 60 mg·L $^{-1}$),所以 COD的去除主要是通过释磷作用实现的. 在 40 ~ 180 min 内,PO $_4^{3-}$ -P浓度仅提高了 (2. 61 mg·L $^{-1}$),但COD浓度降低了 10. 54 mg·L $^{-1}$,说明 40 ~ 180 min 内仍存在着聚糖菌将外源 COD 向内碳源转化的过程. 因此,在厌氧段,异养反硝化菌、聚磷菌和聚糖菌均参与了 COD 的去除,且延时厌氧 (180 min)强化了聚磷菌和聚糖菌的作用,提高了污水中 COD的去除及其向内碳源转化的性能.

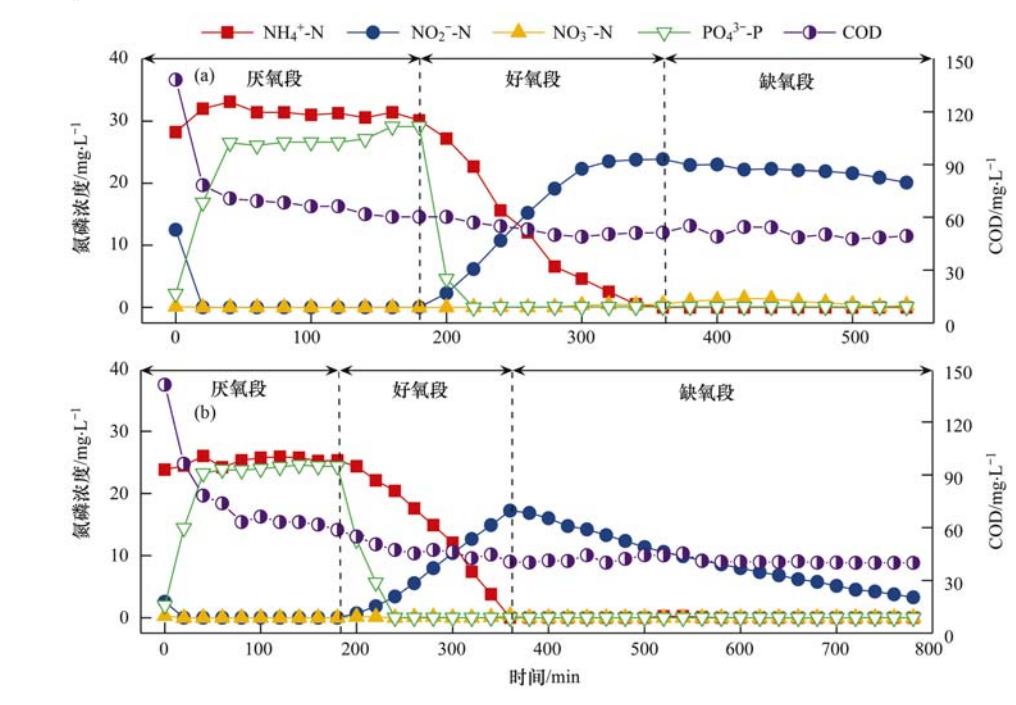


图 5 SPNDPR-PD 系统在典型周期内的污染物去除情况

Fig. 5 Pollutant removal during typical period operation of the SPNDPR-PD system

在好氧段(180~360 min), COD 浓度基本保持不变. $PO_4^{3^-}$ -P浓度在 0~40 min 由 29. 11 mg·L⁻¹降至 0. $PO_4^{3^-}$ -P去除速率为 0. 73 mg·(L·min) ⁻¹, 证明了好氧吸磷的存在. 此外,在该阶段NH₄⁺-N浓度由 30. 13 mg·L⁻¹逐渐降低至 0. 硝化速率为 0. 75 mg·(L·min) ⁻¹; NO₂⁻-N 由 0 逐渐升高至 23. 70 mg·L⁻¹, NO₃⁻-N仅为 0. 43 mg·L⁻¹; 好氧段氮损失约为 6. 00 mg·L⁻¹. 其证明了 SPNDPR-PD 系统内存在 SPND 现象. 因此,SPNDPR-PD 系统内存在 SPND 现象. 因此,SPNDPR-PD 系统内存有 使 5PND 现象. 因此,SPNDPR-PD 系统内存有 10 是短程硝化反硝化作用可实现低 C/N 污水的同步脱氮除磷.

在缺氧段(360~540 min), COD 浓度基本不变, NH_4^+ -N、 PO_4^{3-} -P浓度均为 0 mg· L^{-1} . 在该阶段 NO_2^- -N浓度逐渐减少, 由 23. 70 mg· L^{-1} 逐渐降低至

20.09 $\text{mg} \cdot \text{L}^{-1}$, $\text{NO}_2^- \cdot \text{N}$ 去除速率为 0.02 $\text{mg} \cdot (\text{L} \cdot \text{min})^{-1}$. $\text{NO}_3^- \cdot \text{N}$ 浓度由好氧末的 0.43 $\text{mg} \cdot \text{L}^{-1}$ 降至 0. 说明 SPNDPR-PD 系统增加缺氧段后,短程反硝化作用有利于实现低 C/N 城市污水的深度脱氮除磷.

如图 5(b) 所示,SPNDPR-PD 系统初始 COD、 NH_4^+ -N、 NO_2^- -N、 NO_3^- -N 和 $PO_4^{3^-}$ -P 浓度分别为 141. 18、23. 84、2. 54、0. 28 和 1. 96 mg·L⁻¹. 在厌氧段(0~180 min),COD 浓度逐渐降低,并伴随着磷的释放和 NO_x^- -N的去除. 在 0~20 min, NO_2^- -N 和 NO_3^- -N浓度迅速降至 0. 在 0~40 min 内, $PO_4^{3^-}$ -P浓度呈线性增长趋势,并伴随着 COD 浓度的迅速减少. 在 40~180 min 内, $PO_4^{3^-}$ -P浓度基本保持不变,COD 浓度降低了 19. 57 mg·L⁻¹.

在好氧段(180~360 min), COD 浓度基本保持不变. PO_4^{3-} -P浓度在 0~60 min 由 24. 39 mg·L⁻¹降为 0. PO_4^{3-} -P去除速率为 0. 41 mg·(L·min)⁻¹. 此外,在该阶段NH₄⁺-N浓度由 25. 34 mg·L⁻¹逐渐降低至 0,硝化速率为 0. 42 mg·(L·min)⁻¹; NO₂⁻-N由 0逐渐升高至 17. 22 mg·L⁻¹, NO₃⁻-N 仅为 0. 35 mg·L⁻¹. 好氧段氮损失高达 7. 77 mg·L⁻¹, 较图 5 (a)有明显提高(提高了约 1. 77 mg·L⁻¹).

在缺氧段(360~780 min), COD 浓度基本不变, NH_4^+ -N、 PO_4^3 -P 浓度维持在 0. 在该阶段 NO_2^- -N 浓度呈线性下降趋势,由 17.22 mg·L⁻¹降低至3.26 mg·L⁻¹, NO_2^- -N 去除速率为 0.03 mg·(L·min)⁻¹. 说明此时间段内,缺氧段时间的延长,有助于短程反硝化的进行.

由图 5 对比分析可知, SPNDPR-PD 系统运行 39 d 和 106 d 时, PRA 由 29.11 mg·L⁻¹降低至 24.39 mg·L⁻¹. 好 氧 段 吸 磷 速 率 由 0.73 mg·(L·min) ⁻¹降低至 0.41 mg·(L·min) ⁻¹,硝化速率 由 0.75 mg·(L·min) ⁻¹ 降 低 至 0.42 mg·(L·min) ⁻¹. 说明曝气量的降低会一定程度上抑制系统的除磷性能和硝化性能. 值得注意的是,通过 SND 作用去除的NH₄⁺-N浓度由 6.00 mg·L⁻¹提高至 7.77 mg·L⁻¹,说明降低曝气量有利于 SND 作用的进行. 此外,图 5 中,好氧段基本没有NO₃⁻-N生成,说明降低曝气量和延长缺氧时间并未破坏短程 硝 化 进 程;缺 氧 段 反 硝 化 速 率 由 0.02 mg·(L·min) ⁻¹提高至 0.03 mg·(L·min) ⁻¹,说明延长缺氧时间,有利于提高 SPNDPR-PD 系统的反硝化性能.

3 结论

- (1)采用厌氧/好氧/缺氧运行的 SBR, 通过调控曝气量和缺氧时间,可以实现 SPNDPR-PD 系统的启动和优化运行. 优化后的 SPNDPR-PD 系统出水 NH_4^+ - $N_NO_2^-$ - $N_NO_3^-$ - $N和PO_4^3$ -P浓度分别为 0、3.06、0 和 0 mg· L^{-1} ; TN 去除率高达 99.42%.
- (2) 好氧段曝气量(由 1.0 L·min⁻¹降至 0.6 L·min⁻¹), 缺氧时间(由 180 min 逐步延长至 420 min), SPNDPR-PD 系统的除磷性能几乎不受影响, PO₄²⁻-P去除率稳定维持在较高水平(约为 100%).
- (3) COD 的去除过程主要是发生在系统的厌氧阶段,且主要是通过 PAOs 或 GAOs 的内碳源贮存作用实现的,而异养反硝化菌的反硝化作用贡献很少.改变运行方式(降低曝气量和延长缺氧时间),并未影响系统的 COD 去除性能.系统 COD 去除率

和 COD_{ins}分别高达 85.48% 和 70.97 mg·L⁻¹.

(4) 系统在第 4 优化运行阶段, NO_2^- -N积累率和 SND 率分别稳定维持在 99.68% 和 28.01%,缺氧段 NO_2^- -N去除率和 TN 去除率逐渐升高,分别由 38.94% 和 82.97% 升高至 81.64% 和 95.26%.短程反硝化作用的进行是实现了低 C/N 污水深度脱氮除磷的主要原因.

参考文献:

- [1] 高世江. 废水生物脱氮除磷工艺研究进展[J]. 科技资讯, 2016, **14**(4): 51-52.
- [2] Coats E R, Brin kman C K, Lee S. Characterizing and contrasting the microbial ecology of laboratory and full-scale EBPR systems cultured on synthetic and real wastewaters [J]. Water Research, 2017, 108: 124-136.
- [3] Virdis B, Read S T, Rabaey K, et al. Biofilm stratification during simultaneous nitrification and denitrification (SND) at a biocathode[J]. Bioresource Technology, 2011, 102(1): 334-341.
- [4] Wang F, Lu S, Wei Y J, et al. Characteristics of aerobic granule and nitrogen and phosphorus removal in a SBR[J]. Journal of Hazardous Materials, 2009, 164(2-3): 1223-1227.
- [5] 孙艺齐, 卞伟, 王盟, 等. 活性污泥法和生物膜法 SBR 工艺 亚硝化启动和稳定运行性能对比[J]. 环境科学, 2017, 38 (12): 5222-5228.

 Sun Y Q, Bian W, Wang M, et al. Comparison of start-up and stable performance of nitritation in activated sludge and biofilm processes in a SBR[J]. Environmental Science, 2017, 38(12): 5222-5228.
- [6] 王建龙,彭永臻,王淑莹. 污泥龄对 A²/0 工艺脱氮除磷效 果的影响[J]. 环境工程, 2007, **25**(1): 16-18.
- [7] 许劲, 孙俊贻. 生物除磷脱氮系统工程设计中的污泥龄[J]. 重庆建筑大学学报, 2005, **27**(5): 83-86.

 Xu J, Sun J Y. Sludge retention time in design of biological phosphorus and nitrogen removal system [J]. Journal of Chongqing Jianzhu University, 2005, **27**(5): 83-86.
- [8] 徐伟锋, 顾国维, 陈银广. SRT 对 A²/O 工艺脱氮除磷的影响[J]. 水处理技术, 2007, **33**(9): 68-71.
- [9] 张静, 陈洪斌. 低碳源污水的脱氮除磷技术研究进展[J]. 水处理技术, 2014, **40**(1): 1-6, 15.
- [10] 刘钢, 谌建宇, 黄荣新, 等. 新型后置反硝化工艺处理低 C/N(C/P) 比污水脱氮除磷性能研究[J]. 环境科学学报, 2013, 33(11): 2979-2986.
 Liu G, Chen J Y, Huang R X, et al. Nutrient removal performance of a novel post-anoxic process in treating wastewater
- performance of a novel post-anoxic process in treating wastewater with low C/N (C/P) ratios[J]. Acta Scientiae Circumstantiae, 2013, 33(11): 2979-2986.

 [11] 李子成,邓义祥,郑丙辉. 中国湖库营养状态现状调查分析
- [J]. 环境科学与技术, 2012, **35**(S1): 209-213.

 Li Z C, Deng Y X, Zheng B H. Investigation of the eutrophication status of the lakes and reservoirs in China[J]. Environmental Science & Technology, 2012, **35**(S1): 209-213.
- [12] Kerrn-Jespersen J P, Henze M. Biological phosphorus uptake under anoxic and aerobic conditions[J]. Water Research, 1993, 27(4): 617-624.
- [13] Ma Y, Peng Y Z, Wang X L. Improving nutrient removal of the AAO process by an influent bypass flow by denitrifying phosphorus removal[J]. Desalination, 2009, 246(1-3): 534-544.

- [14] 苗志加. 强化生物除磷系统聚磷菌的富集反硝化除磷特性 [D]. 北京: 北京工业大学, 2013.
 - Miao Z J. The study of PAO enrichment and performance of denitrifying phosphorus removal in EBPR system [D]. Beijing; Beijing University of Technology, 2013.
- [15] 苗志加,彭永臻,王淦,等.强化生物除磷工艺富集聚磷菌及其微生物菌群分析[J].北京工业大学学报,2013,39(5):743-748.
 - Miao Z J, Peng Y Z, Wang G, et al. Enrichment and analysis of the population of phosphate accumulating organisms in enhanced biological phosphorus removal system [J]. Journal of Beijing University of Technology, 2013, 39(5): 743-748.
- [16] Zengin G E, Artan N, Orhon D, et al. Population dynamics in a sequencing batch reactor fed with glucose and operated for enhanced biological phosphorus removal [J]. Bioresource Technology, 2010, 101(11): 4000-4005.
- [17] Li N, Ren N Q, Wang X H, et al. Effect of temperature on intracellular phosphorus absorption and extra-cellular phosphorus removal in EBPR process [J]. Bioresource Technology, 2010, 101(15): 6265-6268.
- [18] 常功法. 基于厌氧环境的倒置 A²/O 工艺生物除磷机理研究 [D]. 济南: 山东大学, 2013.
 Chang G F. The biological phosphorus removal mechanism of Reversed A²/O process based on anaerobic environment [D]. Ji'nan: Shandong University, 2013.
- [19] Zeng R J, Lemaire R, Yuan Z G, et al. Simultaneous nitrification, denitrification, and phosphorus removal in a labscale sequencing batch reactor [J]. Biotechnology and Bioengineering, 2003, 84(2): 170-178.
- [20] 戴娴. 富集聚磷菌的 EBPR 耦合同步硝化反硝化系统脱氮除 磷性能研究[D]. 北京: 北京工业大学, 2016.
- [21] 张杰, 李小明, 杨麒, 等. 采用 AOA 模式在 SBR 中实现同步脱氮除磷[J]. 中国给水排水, 2007, 23(17): 19-22.

 Zhang J, Li X M, Yang Q, et al. Simultaneous nitrogen and phosphorus removal in SBR operated in anaerobic/aerobic/anoxic Mode[J]. China Water & Wastewater, 2007, 23(17): 19-22.

- [22] Wang X X, Wang S Y, Xue T L, et al. Treating low carbon/nitrogen (C/N) wastewater in simultaneous nitrification-endogenous denitrification and phosphorous removal (SNDPR) systems by strengthening anaerobic intracellular carbon storage [J]. Water Research, 2015, 77: 191-200.
- [23] 梁小玲, 李平, 吴锦华, 等. 短程同步硝化反硝化过程的脱 氮与N₂O释放特性[J]. 环境科学, 2013, **34**(5): 1845-1850
 - Liang X L, Li P, Wu J H, *et al.* Nitrogen removal and N₂O emission characteristics during the shortcut simultaneous nitrification and denitrification process [J]. Environmental Science, 2013, **34**(5): 1845-1850.
- [24] 于德爽, 袁梦飞, 王晓霞, 等. 厌氧/好氧 SPNDPR 系统实现低 C/N 城市污水同步脱氮除磷的优化运行[J]. 环境科学, 2018, **39**(11): 5065-5073.

 Yu D S, Yuan M F, Wang X X, et al. Simultaneous nitrogen and phosphorus removal characteristics of an anaerobic/aerobic operated SPNDPR system treating low C/N urban sewage[J].

Environmental Science, 2018, 39(11): 5065-5073.

- [25] 张小玲. 短程硝化一反硝化生物脱氮与反硝化聚磷基础研究 [D]. 西安: 西安建筑科技大学, 2004.

 Zhang X L. Fundamental study of short-cut nitrification-denitrification biological nitrogen removal and denitrifying phosphorus removal [D]. Xi'an: Xi'an University of Architecture and Technology, 2004.
- [26] Li H J, Chen X R, Chen Y G. Effect of the addition of organic carbon sources on nitrous oxide emission in anoxic-aerobic (low dissolved oxygen) sequencing batch reactors [J]. Frontiers of Environmental Science & Engineering in China, 2010, 4(4): 490-499.
- [27] 吕宏德, 张树军, 王伟, 等. A/O 短程硝化反应器处理高浓氨 氮废水的 SND[J]. 中国给水排水, 2008, **24**(13): 89-91, 95. Lv H D, Zhang S J, Wang W, et al. Study on SND in A/O shortcut nitrification reactor for treatment of high-concentration ammonia nitrogen wastewater[J]. China Water & Wastewater, 2008, **24**(13): 89-91, 95.

HUANJING KEXUE

Environmental Science (monthly)

Vol. 40 No. 1 Jan. 15, 2019

CONTENTS

Cause and Effect Evaluation of PM _{2.5} During Three Red Alerts in Beijing from 2015 to 2016 LU Zhe, WEI Wei, ZHOU Ying, et al.	(1)
Effects of Emission Reductions of Key Sources on the PM _{2.5} Concentrations in the Yangtze River Delta	(]	11)
Health Benefit Analyses of the Clean Air Action Plan Implementation in Shanghai	(2	24)
Monitoring and Analysis of the Spatio-temporal Change Characteristics of the PM _{2.5} Concentration Over Beijing-Tianjin-Hebei and Its Surrounding Regions Based on Remote Sensing	, ,	22 \
Applicability of MODIS C006 Aerosol Products in a Typical Environmental Area of the Beijing-Tianjin-Hebei Region	(2	33) 44)
Application of Meteorological Factors on the Ozone Pollution in Hong Kong	(4	44) 55)
Transport Characteristics of PAN and O ₃ in the Lower Atmosphere of the Boundary Layer in Tianjin in Summer YAO Qing, MA Zhi-qiang, LIN Wei-li, et al.	(6	55) 67)
Analysis of Pollution Characteristics and Sources of PM _{2,5} Chemical Components in Chengdu in Winter WU Ming, WU Dan, XIA Jun-rong, et al.	(7	76)
Transport Pathways and Potential Sources of PM _{2,5} During the Winter in Zhengzhou DUAN Shi-guang, JIANG Nan, YANG Liu-ming, et al.	(8	
Characteristics and Sources of Water-soluble Organic Carbon/Nitrogen in PM _{2,5} During Spring in Changzhou LI Qing, HUANG Wen-qian, MA Shuai-shuai, et al.	((94)
Pollution Characteristics and Emission Factors of VOCs from Vehicle Emissions in the Tianjin Tunnel	(1)	.04)
Size Distribution and Carbon Component Characteristics of Atmospheric Particulate Matter from Motor Vehicles	(1	14)
Conversion Characteristics of Combustible Particles from Coal-fired Flue Gas in WFGD and WESP	(1	21)
Particle Removal Characteristics of an Ultra-low Emission Coal-fired Power Plant	(1	26)
Spatial and Temporal Distribution Characteristics and Fugitive Dust Emission of Building Sites in Beijing	(1	35)
Simultaneous Removal of Polychlorinated Dibenzo-p-dioxins/dibenzofurans, Polychlorinated Biphenyls, and Polychlorinated Naphthalenes From Flues Gases From Coke Gas Burning		
Using Selective Catalytic Reduction Equipment REN Mei-hui, FAN Yun, WANG Sheng, et al.		
Space-Time Characteristics and Environmental Significance of the Stable Isotopes in Precipitation in the Gulang River Basin	(1	49)
Spatial Distribution and Degradation of CDOM in the Minjiang River in Summer	(1	57)
Parallel Factor Analysis of Fluorescence Excitation Emission Matrix Spectroscopy of CDOM from the Mid-culture Period of Shrimp Ponds in a Subtropical Estuary ZHU Ai-ju, SUN Dong-yao, TAN Ji, et al.		
ZHU Ai-ju, SUN Dong-yao, TAN Ji, et al.	(1	64)
Spectral Characteristics and Sources of Dissolved Organic Matter With Different Relative Molecular Weight from Rainwater From Summer and Autumn in the Zhoucun Reservoir Based on		\
UV-Vis and EEMs ZHOU Shi-lei, ZHANG Yi-ran, HUANG Ting-lin, et al.	(I	72)
Characteristics and Fouling Potential of Dissolved Organic Matter in a Stratified Source Water Reservoir		
Water-Air Interface CO ₂ Exchange Flux of Typical Lakes in a Mountainous Area of the Western Chongqing and Their Influencing FactorsLUO Jia-chen, NI Mao-fei, LI Si-yue		
Reconstruction of Water Hyperspectral Remote Sensing Reflectance Based on Sparse Representation and Its Application	(2	.00)
Nutrineation Rates and Foliution Characteristics of Sediments with Different Geomorphic Features in the Shiwin Stream, Chaonii Lake basin LI Ru-zhong, QUE Feng-xiang, XIONG Hong-bin, et al.	()	11 \
Distribution and Bioavability of Phosphorus in Surface Sediments in Megalopolis: A Case Study of Chengdu	(2	/11 <i>)</i> /10 \
Distribution and Fluxes of Perfluoroalkyl and Polyfluoroalkyl Substances in the Middle Reaches of the Yellow River (Weinan-Zhengzhou Section)	(2	.1)
LI Qi-lu, CHENG Xiang-hui, ZHAO Zhen, et al.	(2	28)
Distribution and Sources of Polycyclic Aromatic Hydrocarbons in a Karst Groundwater System in a Strongly Industrial City		
Pollution Characteristic and Risk Assessment of Polycyclic Aromatic Hydrocarbons in the Groundwater of Shen-Fu New City in the Hunhe River Basin	. (-	,
ZHANG Shi-chao, YAO Hong, XIANG Xin-xin, et al.	(2	48)
Distribution and Risk Assessment of Polycyclic Aromatic Hydrocarbons and Their Derivatives in Wastewater-Receiving Rivers in Beijing FU Lu-jing, LI Yi-bing, QIAO Meng, et al.	(2	56)
Influence of the Coagulation Mechanism on the Coagulation Performances Using New Composite Coagulants. Bole of the Baw Water Characteristics		
OU Jiang-dong, XU Hui, XU Jian-kun, et al.	(2	(63)
Indirect Photodegradation of Sulfamethoxazole in Water	(2	.73)
Fabrication of the Heterojunction Photocatalyst MoS ₂ /BiOI and Its Investigation of Its Photocatalytic Reduction and Oxidation Activities		
ZHANG Liang, ZHAO Chao-cheng, GAO Xian-yao, et al.		
Nanoscale Zero-valent Copper-Activated Molecular Oxygen for the Degradation of Enrofloxacin in Water		
Adsorption of Cr(VI) in Water by Maifanite Modified with Different LDHs Coatings	(3	(00
Preparation of the Silane Monolayer on Magnetite Nanoparticles and Its Performance with Respect to Phosphate Removal from Water	, _	
XING Ming-chao, XIE Qiang, CHEN Shou-hui, et al.	(3	10)
Optimization of Dyeing Wastewater Treatment with New Eco-friendly Polysilicate Ferromanganese		
Sulfate Reduction and Microbial Community of Autotrophic Biocathode in Response to Externally Applied Voltage		
Effect of Carbon Sources on the Accumulation of Endogenous Polymers and Denitritation in the O/A-F/F Mode		
Effect of the Influent C/P Ratio on the Nutrient Removal Characteristics of the SNEDPR System		
Effect of Different Sludge Retention Time (SRT) Operations on the Nutrient Removal Characteristics of a SNEDPR System		
Startup and Stabilization of Nitrosation in an Anoxic-aerobic Continuous-flow Reactor with Granules		
Startup Strategies for the SNAD Granular Sludge Process at Low Temperature	(3	76)
Effect of the Sampling Scale and Number on the Heterogeneity of Soil Respiration in a Mixed Broadleaf-conifer Forest YAN Jun-xia, SUN Qi, LI Jun-jian, et al.		
Effects of the Crop Rotation on Greenhouse Gases from Flooded Paddy Fields	(3	192)
Response of the Soil NoO Emission and Ammonia-oxidizing Microorganism Community to the Maize Straw Return with Reducing Fertilizer in Purple Soil		
HUANG Rong, GAO Ming, WANG Ying-yan, et al.	(4	01)
Community Structure of CO2-fixing Soil Bacteria from Different Land Use Types in Karst Areas		
Composition and Predictive Functional Analysis of Rhizosphere Bacterial Communities in Riparian Buffer Strips in the Daniiangkou Reservoir, China		
SUN Feng, TIAN Wei, ZHANG Fei, et al.	(4	21)
Migration and Transformation of Adsorbed Arsenic Mediated by Sulfate Reducing Bacteria	(4	30)
Spatial Distribution and Risk Assessment of Heavy Metal Contamination in Surface Farmland Soil Around a Lead and Zinc Smelter		
WANG Yang-yang, LI Fang-fang, WANG Xiao-yang, et al.	(4	37)
Effect of a Mining and Smelting Plant on the Accumulation of Heavy Metals in Soils in Arid Areas in Xinjiang	g (4	45)
Assessment of the Speciation and Pollution of Heavy Metals in Paddy Soils from the Jiulong River Basin	(4	53)
Characteristics of Stable Mercury Isotopic Compositions in the Food Web of the Caohai Lake		
Interaction of Cd and Zn Affecting the Root Morphology and Accumulation of Heavy Metals in Sedum aizoon		
Effects of Different Concentrations of Lanthanum on the Growth and Uptake of Pb by Maize Grown Under Moderate Lead Stress		80)
Distribution and Bioaccumulation Characteristics of Cadmium in Fish Species from the Longjiang River in the Guangxi Autonomous Region		
WANG Jun-neng, ZHAO Xue-min, HU Guo-cheng, et al.		
Influence of Six Digestion Methods on the Determination of Polystyrene Microplastics in Organisms Using the Fluorescence Intensity ZOU Ya-dan, XU Qing-qing, ZHANG Ge, et al.	(4	.96)
Influence of the Digestion memory of the Determination of the Systems in Englands Council Coun		